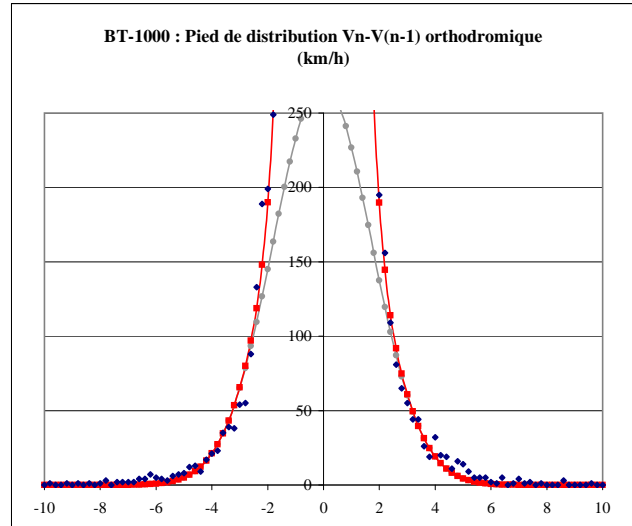


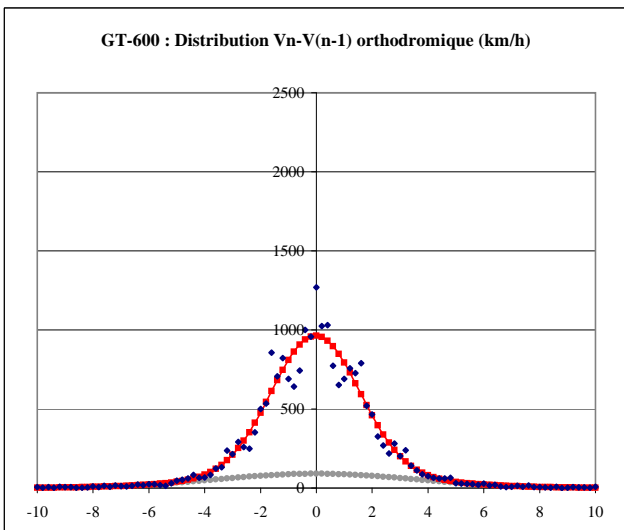
Modèle de distribution normale ajusté à la distribution mesurée Vn-V(n-1) via solveur

	Gauss 1	Gauss 2
Ecart type calculé (corrélacion & solveur)	1.755	0.750
Moyenne gaussienne	-0.040	0.021
Maximum gaussienne	270.360	1703.174
Coefficient de corrélacion modèle / mesure	0.999651	
Nombre total d'échantillons	22066	



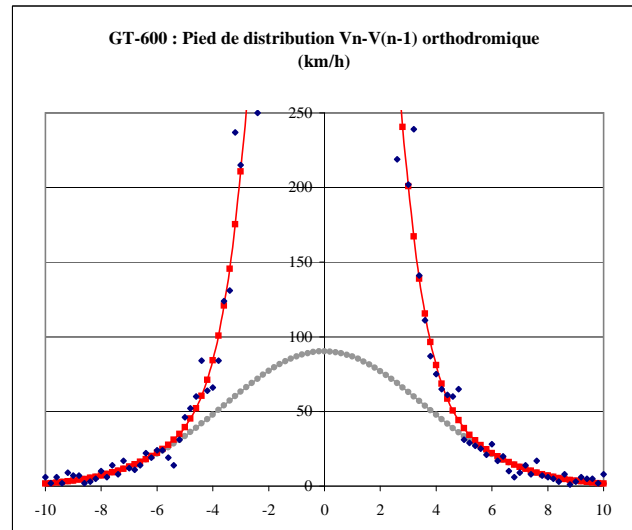
La distribution réelle est matérialisée par les points "bleus"
 Le modèle à deux gaussiennes est matérialisé en "rouge" (points supportant un tracé)
 La gaussienne représentative du pied de distribution réelle est en matérialisée en "gris"

Remarque : Les coordonnées géodésiques sont définies au 8° chiffre significatif, sur le BT-1000. La granulométrie des écarts vitesse est négligeable. L'ajustement se fait aux moindres carrés, mais est installé une pondération progressive forçant l'ajustement du pied de courbe. Sans cette pondération, le coefficient de corrélacion passe sous 0,999. Ca influe bien évidemment sur l'écart type de la première gaussienne qui passe à 1,570



Modèle de distribution normale ajusté à la distribution mesurée Vn-V(n-1) via solveur

	Gauss 1	Gauss 2
Ecart type calculé (corrélacion & solveur)	3.547	1.576
Moyenne gaussienne	-0.006	-0.028
Maximum gaussienne	90.307	873.457
Coefficient de corrélacion modèle / mesure	0.977683	
Nombre total d'échantillons	21934	



La distribution réelle est matérialisée par les points "bleus"
 Le modèle à deux gaussiennes est matérialisé en "rouge" (points supportant un tracé)
 La gaussienne représentative du pied de distribution réelle est en matérialisée en "gris"

Remarque : Les coordonnées géodésiques étant définies au 6° chiffre significatif seulement, sur le GT-600. Pas possible d'aller plus bas. Il s'ensuit renforcement/affaiblissement du nombre d'échantillons par tranche. Les caractéristiques des gaussiennes ne peuvent être considérées comme très fiables.